

# I-29 降雨のある渓水流の実験的研究

京都大学工学部  
正員 工修 高橋政馬  
連絡名港湾技術研究所  
正員 工修 廣本文義

降雨によつて地表面や路面上に生じた渓水流は、雨滴落下による擾乱を受けるが、この乱れは角々で渓水流の流速分布や抵抗則ばかりの影響を受けるものと想われる。筆者らは、昨年の関西支部年次講演会において、1滴の雨滴落水が渓水流に及ぼす効果について実験的民族計し、流れが渓流の場合、その影響を無視しえないことを指摘した。本報告は、その後の雨水流出の実験結果をもつて、降雨のある渓水流の特性と抵抗則について検討したものである。

1. 実験の装置と方法 実験に用いた水路は、長さ15m、巾39cmの鋼鉄製矩形直線水路である。これに付設した噴射式の降雨発生装置を用いて、場所的、時間的に一定角度を降雨させ、水路上に生じた渓水流流量の時間的变化を水路下流端において測定した。雨滴落下の方法は、水路全面に一様に落下させた場合と、平均的な降雨強度は前者と同様であるが、雨滴直径は1mmの大粒として水路長方向50cm間隔に算出位置に落下させて落下密度を粗とした場合の両者の方法をとった。実験は、主として底面が滑面の場合について、降雨強度、勾配を種々変えて行なつたが、中央粒径0.9mmの砂を基準とした場合についても若干の実験を行なつた。表-1は、一様落下の場合の実験諸元を示す。

2. 実験の結果と解析 実験より得られた流量上昇部の流量一時間曲線は、これまで、渓流の抵抗則やManningの抵抗則から求めた算定曲線とかなり異なり、これらと比較された。

運動量の原理から、降雨のある渓水流の基礎方程式は、

$$\cos \theta \frac{dh}{dt} + \frac{1}{g} \frac{dU_x^2}{dx} + \frac{2}{x} (dm \frac{U_x^2}{g}) + (1-dm) \frac{U_y dh}{dt} \\ = \sin \theta - \frac{1}{g} \cdot \frac{U_x^2}{g} - dm \frac{U_x h}{g} + \frac{w^2}{g} \cos \theta' \quad (1)$$

と表わされた。ここで、 $x$ は斜面方向の距離、 $U_x$ は $x$ 方向の平均流速、 $h$ は水深、 $dm$ は流速分布に対する補正係数、 $\theta$ は水路底の傾斜角であり、また $w$ は降雨強度を相当し、 $\theta'$ は降雨の落下方向と $x$ 軸との角である。 $w$ はその速度である。

この式を近似的に

$$\sin \theta - \lambda \cdot \frac{U_x^2}{g} = 0 \quad (2)$$

とおくと、抵抗係数入は、 $\lambda = 2g h^2 \sin \theta / g^2$ 、 $h = vt$ とすれば、この式を用いて実験結果から一様落下の場合の入を算定し、

	SINθ	THM <sup>2</sup>	T(°C)	WATER	WATER	IC No.
Run U-A-1	1.00	2.7710 <sup>2</sup>	14.2	0.0017	●	○
Run U-A-2	0.9510 <sup>2</sup>	1.01	0.0031	-	○	○
" -3 "	7.9910 <sup>2</sup>	-	-	-	-	○
" -4 "	9.6810 <sup>2</sup>	-	-	-	-	○
" -5 "	18.8910 <sup>2</sup>	13.0	0.0026	-	○	○
Run U-B-1	1.43	3.1010 <sup>2</sup>	15.8	0.0012	-	○
" -2 "	9.6610 <sup>2</sup>	16.5	0.00105	-	○	○
Run U-C-1	1.30	2.2810 <sup>2</sup>	-	-	-	○
Run U-D-1	3.00	4.1110 <sup>2</sup>	16.0	0.0017	-	○
" -2 "	2.2710 <sup>2</sup>	-	-	-	-	○
Run U-E-1	1.00	13.1510 <sup>2</sup>	11.0	0.0030	●	●
" -2 "	2.4210 <sup>2</sup>	10.8	0.0031	-	○	○

表-1

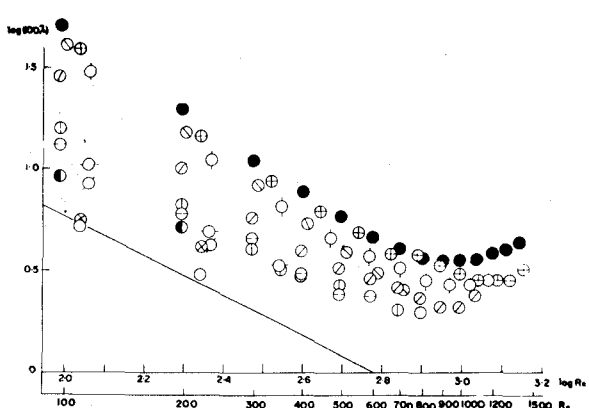


図-1

これと Reynolds  $Re$ との関係を示したのが図-1である。記号は表-1と対応している。実線は、雨漏の抵抗則  $\lambda = \beta/Re$  を示しており、降雨のある浅水流では、 $Re$ が小さき範囲でも雨漏の抵抗則が必ずしも成立せず、 $\lambda$  は各降雨強度ごとに  $\lambda = \beta/Re$  の関係が示されることがわかった。 $\beta r$  と  $r$  との関係を示したのが図-2である。 $\beta r$  は  $r$  の増加につれてほぼ直線的に増加し、 $\beta r = ar + b$  ( $a, b$  は定数) の関係があるといえる。この図には、雨滴の落下密度が粗(粒状)のときの  $\beta r$  も示してあるが、雨滴の間には顯著な差異は認められず、落下密度の影響はさほど大きくないと推察される。また、図-1を見ると、 $Re$  が大約 800 より大きくなると、 $\lambda$  が  $Re$  にはほぼ無関係となる領域があることが認められ、この領域の  $\lambda$  と  $r$  との関係を示すと図-3のようになり、やはり  $\lambda$  は  $r$  の増加につれてほぼ直線的に増加し、 $\lambda r = cr + d$  ( $c, d$  は定数) で表わされたといえよう。又、 $\lambda$  の算定にあたって運動方程式を(2)式で近似したことによる誤差の範囲を  $\lambda = \beta r/Re$  の関係を用いて概算してみると 3~11% となる。だが、この程度の誤差は、上述した  $\lambda \sim Re$  関係に大きな影響を与えないといふ。されば、この曲線上にあること知られる。

図-1で見えた通り、 $\lambda$  が  $\lambda = \beta r/Re$  で表わされた領域から、 $Re$  にはほぼ無関係な領域への移行は  $r$  によつて異なりである。いま、それを  $r$  の関係から求めた流速が移行点における等しいとすると、移行点における  $Re$  は、 $Re(Cr+d)/(ar+b) = 1$  で表わされる。これを図示すると図-4の曲線となり、事实上各降雨強度ごとに説明と、右値も、ほぼこの曲線上にあること知られる。

実験では、流れが定常となり後、雨を止めて、流量を減の状態を記録した。いずれの場合も、降雨停止直後に一時的な流量増加の現象が見られるが、これは急激な抵抗減少によるとと思われる。

$\lambda = \beta/Re$  の成立了する領域について見ると、雨が止んだため  $\beta$  が  $\beta'$  に急変したとすれば、そのときの流量  $Q$  は近似的に  $Q = (\beta/\beta')^{1/2} Q_0$  で表わされる。定常時の水路下端の  $Re$  が 500 程度以下の場合は、流れは雨漏に近づき  $\beta' = 6$  となる。こうした場合には、この式から算定した  $\beta u$  と上昇部の  $\beta r$  を計算して図-5を示した。はるかに  $\beta u$  は  $\beta r$  とよく、このことは上述の考察の妥当性を示唆している。

以上、降雨のある浅水流の特性および抵抗則について若干の考察を行なつたが、これらをより明確なものとするためには、こうした流れの内部機構を明らかにする必要があり、今後この方面からの研究が望まれる。

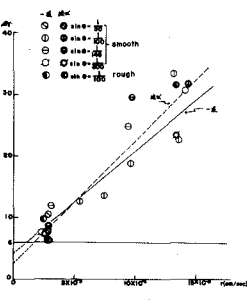


図-2

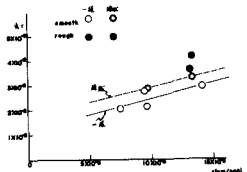


図-3

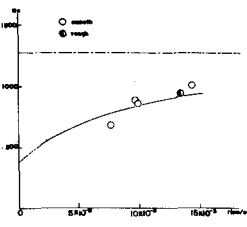


図-4

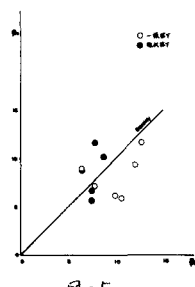


図-5